



ANÁLISIS PSICOMÉTRICO DE UN CUESTIONARIO DE
PERCEPCIÓN DE APOYO SOCIAL EN UNIVERSITARIOS
*PSYCHOMETRIC ANALYSIS OF A SOCIAL SUPPORT PERCEPTION
QUESTIONNAIRE IN UNIVERSITY STUDENTS*

Julio Alberto Dominguez Vergara

Universidad Tecnológica del Perú
psico_julio@outlook.com

Leonela Torres Ataucuri

Universidad Tecnológica del Perú
U17106754@utp.edu.pe

Resumen

Antecedentes y objetivo: Se ha demostrado que el apoyo social acciona como amortiguador ante eventos estresores de la vida universitaria. El apoyo social se deriva a partir de la percepción de apoyo potencialmente disponible producto de la red de personas como la familia, amigos y demás. Por ello, la importancia de validar un instrumento de apoyo social en el contexto universitario debido a los factores específicos que enfrenta el estudiante en la universidad. **Materiales y método:** El presente estudio examinó las propiedades psicométricas de la escala de percepción de apoyo social en universitarios peruanos. Participaron 746 estudiantes (405 mujeres y 341 hombres) entre 18 a 29 años (Medad = 20.67, DE = 2.76) de 7 carreras universitarias. **Resultados:** El análisis confirmatorio que verificó un ajuste satisfactorio en el modelo de 3 factores ($\chi^2 = 243.32$, $gl = 74$, $p < 0.01$, CFI = .95, TLI = .93; RMSEA = .055; SRMR = .053). Además, la estructura de tres factores fue estrictamente invariable según sexo. La confiabilidad se realizó por el coeficiente de Omega (ω), se reportó valores adecuados en las dimensiones de familia (.82), amigos (.84) y otros (.72). **Conclusiones:** Se concluye que la versión peruana de apoyo social cuenta con adecuadas evidencias de validez y confiabilidad en universitarios peruanos.

Palabras clave: apoyo social, universitarios, análisis factorial, confiabilidad.

Abstract

Background and objective: Social support has been shown to act as a buffer against stressful events in college life. Social support is derived from the perception of potentially available support derived from the network of people such as family, friends and others. Hence, the importance of validating a social support instrument in the university context due to the specific factors faced by the student at university. **Materials and Methods:** The present study examined the psychometric properties of the social support perception scale in Peruvian university students. A total of 746 students (405 females and 341 males) between 18 and 29 years of age (mean age = 20.67, SD = 2.76) from 7 university courses participated. **Results:** The confirmatory analysis verified a satisfactory fit to the 3-factor model ($\chi^2 = 243.32$, $gl = 74$, $p < 0.01$, CFI = .95, TLI = .93; RMSEA = .055; SRMR = .053). In addition, the three-factor structure was strictly sex-invariant. Reliability was performed by the Omega coefficient (ω), adequate values were reported in the dimensions of family (.82), friends (.84) and others (.72). **Conclusions:** It is concluded that the Peruvian version of social support has adequate evidence of validity and reliability in Peruvian university students.

Keywords: social support, university students, factor analysis, reliability.

Introducción

La experiencia universitaria es considerada una etapa de desafíos, ya que los jóvenes, desarrollan nuevas habilidades, experiencias, relaciones sociales y adquieren conocimientos. Para muchos universitarios, la universidad y sus demandas pueden convertirse en un evento estresante, ya que deben experimentar cambios en el estilo de vida, las relaciones y la comunidad (Ibrahim et al., 2013; Alsubaie, et al., 2019). Los universitarios se enfrentan a diversas situaciones, en las que se resaltan el manejo de dinero, la responsabilidad laboral y las actividades académicas (Barrera-Herrera y Vinet, 2017). Investigaciones indican que los factores estresantes académicos, problemas financieros y sociales perjudican la salud mental en los jóvenes (Duffy, et al., 2019; Larcombe, et al., 2016). Además, que el contexto de COVID-19 ha generado problemas como depresión, ideas suicidas y angustia psicológica en los estudiantes debido al confinamiento y al temor por el contagio (Patsali, et al., 2020; Wathelet, et al., 2020; Parra, 2020).

Se ha demostrado que el apoyo social acciona como amortiguador ante eventos estresores de la vida (Shvedko, et al., 2018; Barrera-Herrera, et al., 2019; Wu, et al., 2021; Suwinyattichaiyorn y Johnson, 2020; Özer, et al., 2021), además, de ser un elemento fundamental activo para el soporte de un familiar que se haya infectado por el COVID-19 (Calderon-Cholbi et al., 2022). La evidencia ha demostrado que estrés académico ha sido definido como conflictos, frustraciones, presiones, cambios sobre la salud mental y este depende del nivel de apoyo social percibido (Saltzman et al., 2020; Zhang, et al., 2018). Además, el apoyo de familiares, amigos y otras personas tienen efectos positivos con el aprendizaje y el rendimiento académico (Gaxiola y González, 2019). Una investigación reportó que el apoyo familiar y de amistades tienen efectos importantes en la gestión de emociones y la actividad académica de los universitarios (Awang et al., 2014). Asimismo, un estudio transcultural en universitarios de Ecuador y España reportan que la identificación de las propias emociones y el apoyo social percibido como la familia, son buenos predictores del bienestar subjetivo (Hidalgo-Fuentes et al., 2021). De esta manera, diversas investigaciones demuestran que el apoyo social es un predictor importante del bienestar psicológico en estudiantes universitarios (Adyani, et al., 2019; Saltzman et al., 2020).

El apoyo social se deriva a partir de la percepción de apoyo potencialmente disponible producto de la red de personas como la familia, amigos y demás (Awang et al., 2014; Dour, et al., 2014). De esta forma, el apoyo social puede definir como la cantidad de conexiones relacionales con otras personas y es considerada emocional, tangible o informativa (Fleury et al., 2009).

El interés por medir del apoyo social ha sido desarrollado mediante la implementación de diferentes instrumentos debido a la importancia como factor protector. Entre ellos, la Escala Multidimensional de Apoyo Social Percibido (MSPSS) de Zimet et al. (1988), es una medida breve y evalúa tres dimensiones como el de familia, amigos y otras personas cercanas. El MSPSS ha sido validado y traducido en poblaciones occidentales (Ekbäck, et al., 2013; Guan et al., 2015; Ramaswamy et al., 2009). Las propiedades psicométricas del MSPSS mostró un modelo estructural de 3 factores; asimismo, el cálculo de la consistencia interna ($\alpha = 0,88$) fue aceptable y el método por test-retest, arrojó $\alpha = 0,85$ después de 3 meses desde la primera administración. En relación a las evidencias validez demostró correlaciones inversas entre el apoyo social con la ansiedad ($r = -0,18$; $p < 0,01$) y depresión ($r = -0,24$; $p < 0,01$) (Zimet, et al., 1988). Otro instrumento es el Cuestionario de Apoyo Social (MOSS) diseñado para el contexto médico. La estructura del MOSS fue a través de 4 subescalas, entre ellas, apoyo afectivo, apoyo tangible, apoyo emocional/informativo e interacción social positiva) constituida por 19 ítems mediante una escala de respuesta tipo Likert (Sherbourne y Stewart, 1991). El MOSS fue traducido y adaptado en varios contextos culturales (Gómez-Cameron et al., 2014; Holden et al., 2014; Dafaalla et al., 2016). Las evidencias psicométricas indican valores satisfactorios en la confiabilidad del instrumento y en su validez. La Escala de Percepción de Apoyo Social (EPAS) creado por Vaux, et al. (1986) es un instrumento de autoinforme constituida por 15 ítems y que evalúa el nivel de sentirse estimada/o, amada/o y parte de un grupo, ya sea a nivel familiar, amical o con otras personas significativas.

La mayoría de instrumentos de apoyo social están dirigidas a adultos mayores (Nahm et al., 2004), contextos clínicos (Requena et al., 2007; Ekbäck, et al., 2013; Stewart et al., 2014) y adolescentes (Kerres y Kilpatrick, 2001; Wilson et al., 2017). Asimismo, el EPAS ha reportado estudios psicométricos en Chile mediante un análisis factorial confirmatorio, donde los valores de ajuste

fueron favorables ($X^2 = 186.63$; $p < .001$; CFI = .97, TLI = .94 y RMSEA = .08) (Cárdenas et al., 2015). Por otra parte, la validación psicométrica desarrollada por Nava et al. (2015) en estudiantes universitarios de México reportó una estructura factorial de 3 factores a través del análisis factorial exploratorio y la confiabilidad en las tres dimensiones fueron satisfactorias, siendo superiores a .80.

La inclusión de una medida de apoyo social en el contexto universitario beneficia significativamente a nivel teórico y práctico; ya que al ser un instrumento breve compuesto por 15 ítems facilita su medición a través de las tres dimensiones (familia, amigos y otras personas significativas). Además, el EPAS puede ser usado para evaluación, atención e intervención por parte de los psicólogos de los departamentos de bienestar universitario. Finalmente, el uso del EPAS en la educación superior podrá promover el fortalecimiento de programas que de desarrollo social y familiar para el individuo.

En ese sentido, la importancia de validar un instrumento de apoyo social en el contexto universitario debido a los factores específicos que enfrenta el estudiante en la universidad. Asimismo, el apoyo social actúa como un factor protector importante para el bienestar psicológico, siendo crucial tener una medida ajustada al contexto cultural.

Ante lo mencionado, este estudio tiene como propósito analizar las propiedades psicométricas de la Escala de Percepción de Apoyo Social (EPAS) en estudiantes universitarios. En ese sentido, el primer objetivo específico estuvo vinculado a las evidencias basadas en la estructura interna y el segundo a la estimación de la confiabilidad.

Método

Diseño

El diseño de estudio fue instrumental (Ató et al., 2013) donde se analizaron las propiedades psicométricas de la Escala de Percepción de Apoyo Social (EPAS).

Participantes

Para el cálculo del tamaño muestral se utilizó

la calculadora estadística de Soper (2022). Para ello, se consideraron las 15 variables observadas (15 ítems del EPAS), un tamaño de efecto anticipado ($\lambda = 0.1$), probabilidad (.05) y un nivel de potencia estadística (.95).

Los participantes fueron seleccionados a través de un muestreo no probabilístico por conveniencia. Los criterios de inclusión fueron: a) ser mayor de 18 años y b) firmar el consentimiento informado. La muestra final fueron 746 universitarios.

Instrumentos

Se utilizó la Escala de Percepción de Apoyo Social (EPAS, Vaux et al., 1986) que evalúa el nivel en que un individuo se siente apreciado, querido y que pertenece a un grupo, en este caso por sus familiares, amistades y otros significativos. La adaptación de esta escala al español se realizó por Nava et al. (2014) en México. El EPAS cuenta con 15 ítems y posee una escala de respuesta tipo Likert, con cuatro opciones de respuesta, que van desde: totalmente de acuerdo = 4, de acuerdo = 3, en desacuerdo = 2, y totalmente en desacuerdo = 1. Además, la escala se está dividida en tres subescalas: familia, amigos y otros. La prueba original fue creada en inglés (Vaux, et al., 1986) y se llevó a cabo en universitarios. El instrumento inicialmente se compuso de 23 ítems y en el proceso se redujo a 15. La estimación de la fiabilidad fue por alfa de cronbach obteniendo valores superiores a .80 en las subescalas de familia (.90), amigos (.80) y otros (.94).

Procedimiento

Inicialmente, se solicitó la aprobación del comité de ética de la Universidad Tecnológica del Perú con número de registro 155-2021-CEI-UTP. Para la recolección de información se utilizó un formulario en línea y se recolectó la información de datos entre agosto y octubre del 2021. El enlace se difundió mediante plataformas virtuales como Zoom, Facebook y WhatsApp. Se consideró a los participantes que sean mayores de 18 años, que estén matriculados en alguna universidad de Lima y acepten participar voluntariamente en el estudio. Se comunicó a los estudiantes del anonimato y la confidencialidad de los datos; asimismo, se recaló que podían decidir no cumplimentar la escala en cualquier momento.

Análisis de datos

Para el análisis de información se utilizó el programa estadístico de libre acceso R studio (versión 4.0.3). En primer lugar, se realizó un análisis exploratorio de los casos atípicos a través de la evaluación de la asimetría y curtosis (Tabachnick y Fidel, 2001), después se identificaron 7 datos atípicos de los cuales fueron eliminados de la base de datos. Luego, se analizó la distribución de las medidas descriptivas como la media, desviación típica, asimetría y curtosis (Hair et al., 2014).

Segundo, se procedió con el análisis factorial confirmatorio (AFC) debido a la estructura teórica ya comprobada, mediante el método de estimación Mínimos Cuadrados Ponderados con Varianza Ajustada (WLSMV; DiStefano y Morgan, 2014) debido a la naturaleza ordinal de los ítems (Brown, 2015).

Los estadísticos que se calcularon fueron la prueba de chi cuadrado (χ^2), grados de libertad (gl), índice de ajuste global (χ^2 /gl), error cuadrático medio de aproximación (RMSEA) con sus intervalos de confianza al 90%, índice de ajuste comparativo (CFI) y el índice de Tucker Lewis (TLI). Se considera un buen ajuste del modelo cuando el χ^2 /gl es ≤ 5 (Hair et al., 2014). Asimismo, cuando los valores del RMSEA son menores a .80 proporcionan mejor evidencia de ajuste entre el modelo

empírico y el hipotético (Hu y Bentler, 1999; Tabachnick y Fidell, 2007) y el CFI y TLI deben ser superiores a .90 o más deseable $\geq .95$ indicando un mejor ajuste del modelo propuesto (DiStefano et al., 2018). La fiabilidad se calculó mediante el coeficiente omega, cuyos valores son adecuados cuando son superiores a .70 (Gadermann et al., 2012).

Para la evaluación de la invarianza factorial según sexo se utilizó la secuencia de varianza jerárquica. Inicialmente, se calculó la invarianza configuracional, seguida de la métrica (con igualdad de cargas factoriales), la invarianza escalar (igualdad en cargas factoriales e interceptos) y finalmente la estricta (igualdad en cargas factoriales, interceptos y residuos). Para las secuencias se usó las diferencias de chi cuadrado ($\Delta \chi^2$) y las diferencias del CFI (Δ CFI), donde valoraciones inferiores a <0.10 muestran invarianza del modelo entre grupos (Chen, 2007). Asimismo, se reportó las diferencias del RSMSEA (Δ RMSEA), indicando que diferencias por debajo de 0.15 demuestran invarianza entre grupos (Chen, 2007).

Resultados

La muestra se compuso por 746 universitarios de Lima, de las carreras de ingeniería (38.8%), negocios (24.3%), psicología (14.3%), derecho (10.1%), comunicaciones (5.5%), arquitectura

Tabla 1. Análisis de ítems de la Escala de Percepción Social

Ítem	M	DE	g1	g2	R _{itc}
1. Mis amigos me respetan	3.5	0.55	-0.71	0.57	0.47
2. Mi familia cuida mucho de mí	3.54	0.56	-1.03	1.91	0.5
3. Soy buena persona	3.3	0.56	-0.2	0.2	0.43
4. Siento una unión muy fuerte con mis amigos	3.13	0.66	-0.37	0.18	0.53
5. Mi familia me tiene alta estima	3.37	0.63	-0.68	0.43	0.54
6. La gente me admira	2.78	0.62	-0.22	0.16	0.45
7. Soy amado por mi familia	3.51	0.58	-0.88	0.65	0.61
8. Soy respetado por otras personas	3.25	0.56	-0.12	0.4	0.51
9. Los miembros de mi familia confían en mí	3.3	0.68	-0.74	0.58	0.55
10. Mis amigos son importantes para mí y yo para ellos	3.19	0.65	-0.48	0.4	0.6
11. Mi familia realmente me respeta	3.35	0.64	-0.72	0.65	0.66
12. Mis amigos se preocupan por mí	3.12	0.63	-0.45	0.85	0.57
13. No me siento cerca de los miembros de mi familia	2.85	0.87	-0.34	-0.59	0.39
14. Puedo confiar en mis amigos	3.08	0.66	-0.46	0.59	0.57
15. Mis amigos han hecho mucho por mí y yo por ellos	3.05	0.7	-0.45	0.25	0.51

M=Media; DE = Desviación típica; g1 = asimetría; g2 = curtosis; Ritc = Correlación Item-test; K-S = Prueba de normalidad de Kolgomorv Smirnov

(5.4%) y salud (1.6%). Entre ellos, el 54.3% (405) son mujeres y el 45.7% (341) hombres y sus edades oscilan entre los 18 a 29 años (Medad = 20.67, DE = 2.76, Mdn = 20).

Los resultados de las propiedades psicométricas se organizan en los siguientes apartados: análisis preliminar, evidencias basadas en la estructura interna y análisis de confiabilidad.

Análisis preliminar

Se comenzó el análisis examinando los estadísticos descriptivos de los ítems, calculando la media, desviación típica, asimetría y curtosis (Tabla 1). Se evidenció que el ítem 2 mostró valores superiores +/- 1 (Tabachnick y Fidell, 2007) demostrando una distribución no normal de los datos. Asimismo, se evidencia la correlación ítem total (Ritc) en cada ítem del instrumento, mostrando

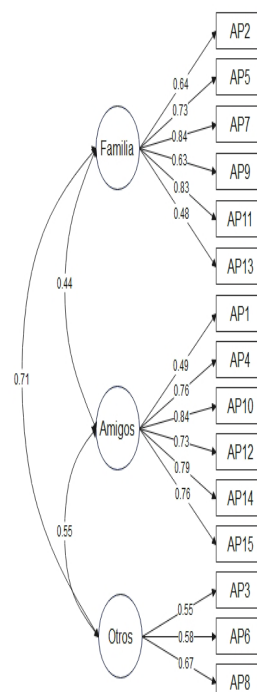
valores superiores a .20 (Kline, 1986), las correlaciones muestran valores que oscilan entre .39 y .66. Se calculó la normalidad multivariada a través de la prueba de Kolgomorov Smirnov, donde todos los ítems mantuvieron una distribución no normal ($p < 0.001$). Finalmente, se descartó valores redundantes ($>.95$) mediante la multicolinealidad entre ítems.

Evidencias basadas en la estructura interna

Para el análisis factorial confirmatorio (AFC) se verificó el modelo de 3 factores propuesto por Vaux, et al. (1986), mostrando índices de bondad de ajuste satisfactorios ($\chi^2 = 243.32$, $gl = 74$, $p < 0.01$, $\chi^2 / gl = 3.29$, $TLI = .93$, $CFI = .95$, $RMSEA = .055$ [IC90% .050, .063]; $SRMR = .053$).

La figura 1, presenta la estructura factorial total de los tres factores relacionados. Las cargas

Figura 1. Gráfica de cargas factoriales de la EPAS del modelo de 3 factores del apoyo social



factoriales (λ) se ajustan adecuadamente indicando valores entre 0.50 a 0.81 para la dimensión de familia; 0.39 a 0.81 para la dimensión de amigos y 0.55 a 0.67 para otros.

En base a estos resultados se evaluó la estructura interna en los grupos de hombres y mujeres y la invarianza factorial de la EPAS. Se realizó un AFC por separado para cada sexo.

De esta manera la tabla 2 muestra los resultados del modelo relacionado de 3 factores, obteniendo índices satisfactorios para el sexo masculino ($\chi^2 = 178.48$, $gl = 74$, $p < 0.01$, $\chi^2 / gl = 2.41$, $TLI = .92$, $CFI = .94$, $RMSEA = .059$ [IC90% .049, .069]; $SRMR = .065$) y femenino ($\chi^2 = 158.70$, $gl = 74$, $p < 0.01$, $\chi^2 / gl = 2.14$, $TLI = .93$, $CFI = .95$, $RMSEA = .058$ [IC90% .046, .070]; $SRMR = .049$). Todas las cargas factoriales del modelo relacionado de 3 factores fueron significativas ($p < 0.01$) y variaron entre .51 a .78 para la muestra masculina y .48 a .79 para la muestra femenina. Los valores de invarianza factorial del modelo de 3 factores relacionados muestra evidencia de ser estrictamente invariante para los grupos masculino y femenino en la secuencia propuesta: invarianza métrica ($\Delta CFI = -.003$; $\Delta RMSEA = -.001$), invarianza escalar ($\Delta CFI = -.014$; $\Delta RMSEA = .004$) y estricta ($\Delta CFI = -.003$; $\Delta RMSEA = -.001$).

Análisis de fiabilidad

La confiabilidad (tabla 3) se calculó mediante el coeficiente de omega (ω), donde se presentan coeficientes de omega en el factor de familia de 0.82 (IC 95%, 0.80; 0.85), amigos de 0.84 (IC 95%, 0.84; 0.88) y otros de 0.72 (IC 95%, 0.66; 0.77).

Discusión

El estudio tuvo como objetivo examinar las propiedades psicométricas del EPAS (Vaux, et al., 1986) en estudiantes universitarios. La correlación ítem test muestra un índice elevado en el ítem 11 ("Mi familia realmente me respeta") y la más baja al ítem 13 ("No me siento cerca de los miembros de mi familia"). De esta forma, los 15 ítems contribuyen eficazmente con la homogeneidad de la variable (Delgado et al., 2006; Kline, 1983).

La fiabilidad se calculó mediante el coeficiente de ω obteniendo valores adecuados en las dimensiones de familia (.82), amigos (.84) y otros (.72). Otros estudios reportan la consistencia interna por alfa de Cronbach teniendo en cuenta las limitaciones que proporciona como la presencia de puntuaciones sesgadas y el principio de tau equivalencia (Trizano-Hermosilla y Alvarado, 2016). La validación realizada por Cárdenas et al. (2015), re-

Tabla 2. Índices de ajuste de bondad del modelo total y modelos de invarianza según sexo.

Modelos	χ^2	gl	p	SRMR	TLI	CFI	RMSEA	$\Delta\chi^2$	Δgl	ΔCFI	$\Delta RMSEA$
Modelo total											
Modelo relacionado de 3 factores	243.32	74	<0.001	0.053	0.93	0.95	0.055	-	-	-	-
Por sexo											
Masculino	178.48	74	<0.001	0.065	0.92	0.94	0.059	-	-	-	-
Femenino	158.70	74	<0.001	0.049	0.93	0.95	0.058	-	-	-	-
Configural	382.29	148	<0.001	0.058	0.93	0.94	0.065	-	-	-	-
Métrico	405.57	159	<0.001	0.062	0.93	0.94	0.064	18.396	11	-0.003	-0.001
Escalar	469.74	170	<0.001	0.065	0.92	0.92	0.069	83.120	11	-0.014	0.004
Estricto	495.32	184	<0.001	0.067	0.92	0.92	0.067	16.752	14	-0.003	-0.001

χ^2 =Chi cuadrado; gl = grados de libertad; SRMR = raíz residual estandarizada cuadrática media; TLI = Índice de Tucker Lewis; CFI = índice de ajuste comparativo; RMSEA = error cuadrático medio de aproximación; $\Delta\chi^2$ = Cambio en chi cuadrado; Δgl = cambio en grados de libertad; ΔCFI = Cambio del índice de ajuste comparativo; $\Delta RMSEA$ = Cambio del error cuadrático medio de aproximación

portan la fiabilidad por Alfa de Cronbach, obteniendo valores semejantes en sus dos dimensiones (familia = .83 y amigos = .88). Por otro lado, el estudio de Nava et al. (2015) muestran valores similares con un coeficiente de Alfa de Cronbach en las escalas de familia (.82), amigos (.87) y otros (.64).

El análisis factorial confirmatorio (AFC) reportó evidencias que confirmaron la estructura de tres factores de la EPAS, con ítems que muestran cargas factoriales adecuadas (Dominguez-Lara, 2018). Estos resultados son semejantes a los reportados en los estudios de Nava et al. (2015) y Manrique-Millones et al. (2020) quienes confirmaron la estructura de tres factores siendo consistente en muestras universitarias. Por otra parte, Cárdenas et al. (2015) a través de un AFC indicó la sugerencia de un modelo bidimensional formado por "amigos" y "familia", considerando una versión reducida de 10 ítems de la EPAS. Además, los resultados ratifican la multidimensionalidad de la escala de apoyo social; ya que el MSPSS (Zimet et al., 1988) consideran las dimensiones de familia, amigos y otros significativos como estructura factorial en estudios latinoamericanos con muestras universitarias (Brugnoli et al., 2022; Trejos-Herrera et al., 2018; Ermis-Demirtas, 2018).

Por otro lado, la secuencia jerárquica del estudio de invarianza, mostró que la EPAS es estrictamente invariante según la variable sexo; de esta forma, se concluye que los ítems miden el mismo marco de referencia conceptual para el grupo de varones como el de mujeres. Con respecto a los resultados de invarianza estos coinciden con otros instrumentos que también evalúan apoyo social como los desarrollados en Nigeria (Aloba et al., 2019), Indonesia (Laksmi et al., 2020) y España (Calderón et al., 2021).

Entre las implicancias prácticas, a partir de las

diferentes revisiones teóricas surge la necesidad de desarrollar más investigaciones de validación del instrumento en otros perfiles sociodemográficos como adultos mayores, pacientes clínicos y adolescentes en diversas regiones del país. Además, los resultados pueden no solo ser importante para la investigación psicométrica, sino también para la práctica clínica y educativa. Desde el ámbito teórico, los resultados muestran una medida que se puede conceptualizar a través de tres dimensiones, siendo independiente del sexo para los estudiantes universitarios. Asimismo, es importante contar con instrumentos que posean evidencias de validez y fiabilidad en diferentes contextos socioculturales para efectos de evaluación e intervención psicológica. Por otra parte, los profesionales del área social, clínica y educativa podrán contar con un instrumento que sirva para la medición del apoyo social y así optimizar los procesos de intervención psicológica en universitarios peruanos. Finalmente, será útil para que las entidades superiores puedan tomar en cuenta programas de fortalecimiento social a través de las áreas de familia, amigos y otras personas significativas para el individuo y su desenvolvimiento académico.

En cuanto a las limitaciones de la investigación deben señalarse la selección de la muestra mediante el muestreo no probabilístico, por tal motivo, no son completamente representativos de la población universitaria peruana, lo que imposibilita generalizar los hallazgos a otras muestras de desarrollo (infantes, adolescentes y adultos mayores). Por ello, para mejorar la representatividad de la muestra se sugiere que para posteriores estudios se empleen técnicas probabilísticas. Asimismo, la recolección de datos se hizo a través de un formulario en línea, lo que puede haber generado un sesgo de selección, ya que solo se accedió a participantes que puedan contar con internet para su participación. Por otra parte, el presente

Tabla 3. Análisis de la fiabilidad de la escala de apoyo social (EPAS)

Escala	ω	Intervalo de confianza 95%	N° de ítems
Familia	0.82	0.80 - 0.85	6
Amigos	0.84	0.84 - 0.88	6
Otros	0.72	0.66 - 0.77	3

ω = Coeficiente de omega

estudio se ha centrado en hallar las evidencias de estructura interna, dejando de lado otras fuentes de evidencias de validez como el de relación con otras variables (Campbell y Fiske, 1955). Finalmente, no se estableció un método de confiabilidad por estabilidad de tiempo, debido a la característica transversal del estudio. Se sugiere que para otros estudios se puedan emplear métodos de confiabilidad como el test retest.

Conclusión

Se concluye que los resultados de este estudio demuestran adecuadas evidencias psicométricas del cuestionario EPAS de Vaux como alternativa adecuada para la evaluación del apoyo social en población universitaria.

Se sugiere que para posteriores estudios se pueda probar el modelo factorial considerando su estructura en otras muestras semejantes, contemplando otras variables sociodemográficas basadas en las características del apoyo social como: situación laboral, constitución familiar, habilidades sociales, edad y estado civil.

Referencias

Aloba, O., Opakunle, T., & Ogunrinu, O. (2019). Psychometric characteristics and measurement invariance across genders of the Multidimensional Scale of Perceived Social Support (MSPSS) among Nigerian adolescents. *Health Psychology Report*, 7(1), 69-80. <https://doi.org/10.5114/hpr.2019.82629>

Ato, M., López-García, J. J., & Benavente, A. (2013). Un sistema de clasificación de los diseños de investigación en psicología. *Anales de Psicología*, 29(3), 1038-1059. <https://doi.org/10.6018/analesps.29.3.178511>

Awang, M. M., Kutty, F. M., & Ahmad, A. R. (2014). Perceived social support and well being: First-year student experience in university. *International Education Studies*, 7(13). doi:10.5539/ies.v7n13p261. <http://dx.doi.org/10.5539/ies.v7n13p261>

Adyani, L., Suzanna, E., Safuwani, S., & Murjali, M. (2019). Perceived social support and psychological well-being among interstate students at Malikussaleh University. *Indigenous: Jurnal Ilmiah*

Psikologi, 3(2), 98-104. <https://doi.org/10.23917/indigenous.v3i2.6591>

Alsubaie, M. M., Stain, H. J., Webster, L. A. D., & Wadman, R. (2019). The role of sources of social support on depression and quality of life for university students. *International Journal of Adolescence and Youth*, 24(4), 484-496. <https://doi.org/10.1080/02673843.2019.1568887>

Barrera-Herrera, A. y Vinet, E.V. (2017). Adultez emergente y características culturales de la etapa en universitarios chilenos. *Terapia psicológica*, 35(1), 47-56. <http://dx.doi.org/10.4067/S0718-48082017000100005>

Barrera-Herrera, A., Neira-Cofré, M., Rispán-Gómez, P., Riquelme-Lobos, P., y Escobar, B. (2019). Apoyo social percibido y factores sociodemográficos en relación con los síntomas de ansiedad, depresión y estrés en universitarios chilenos. *Revista de Psicopatología y Psicología Clínica*, 24(2). <https://doi.org/10.5944/rppc.23676>

Bentler, P. M., & Dudgeon, P. (1996). Covariance structure analysis: Statistical practice, theory, and directions. *Annual review of psychology*, 47(1), 563-592. <https://doi.org/10.1146/annurev.psych.47.1.563>

Brown, T. A. (2006). *Confirmatory factor analysis for applied research*. New York, NY: Guilford Press

Brown, T. A. (2015). *Confirmatory factor analysis for applied research (2nd ed.)*. New York, NY: Guilford Press.

Browne, M. W., & Cudeck, R. (1992). Alternative ways of assessing model fit. *Sociological Methods & Research*, 21(2), 230-258. <https://doi.org/10.1177/0049124192021002005>

Brugnoli, A. V. M., Gonçalves, T. R., Silva, R. C. D. D., & Pattussi, M. P. (2022). Evidence of the validity of the Multidimensional Scale of Perceived Social Support (MSPSS) in university students. *Ciência & Saúde Coletiva*, 27, 4223-4232. <https://doi.org/10.1590/1413-812320222711.08592022 EN>

Calderón-Cholbi, A., Delhom, I., Mateu-Mollá, J., & Lacomba-Trejo, L. (2022). *Psicopatología*,

- apego y apoyo social en familiares de personas afectadas por COVID-19. *Revista De Psicología de la Salud*, 10(1). <https://doi.org/10.21134/pssa.v10i1.865>
- Calderón, C., Ferrando, P. J., Lorenzo-Seva, U., Gómez-Sánchez, D., Fernández-Montes, A., Palacín-Lois, M., Antoñanzas-Basa, M., Rogado, J., Manzano-Fernández, A., Ferreira, E., Asensio-Martínez, E., & Jiménez-Fonseca, P. (2021). Multidimensional Scale of Perceived Social Support (MSPSS) in cancer patients: psychometric properties and measurement invariance. *Psicothema*, 33(1), 131–138. <https://doi.org/10.7334/psicothema2020.263>
- Cárdenas, M., Barrientos, J., y Ricci, E. (2015). Estructura factorial de la escala de soporte social subjetivo: validación en una muestra de estudiantes universitarios chilenos. *Acta Colombiana de Psicología*, 18(1), 95-101. <https://doi.org/10.14718/ACP.2015.18.1.9>
- Cerda, J., & Cifuentes, L. (2012). Uso de curvas ROC en investigación clínica: Aspectos teórico-prácticos. *Revista chilena de infectología*, 29(2), 138-141. <http://doi.org/10.4067/S0716-10182012000200003>
- Chen, F. F. (2007). Sensitivity of goodness of fit indexes to lack of measurement invariance. *Structural Equation Modeling: A Multidisciplinary Journal*, 14(3), 464–504. <https://doi.org/10.1080/10705510701301834>
- Dafaalla, M., Farah, A., Bashir, S., Khalil, A., Abdulhamid, R., Mokhtar, M., Mahadi, M., Omer, Z., Suliman, A., Elkhalfifa, M., Abdelgadir, H., Kheir, A., & Abdalrahman, I. (2016). Depression, anxiety, and stress in sudanese medical students: a cross sectional study on role of quality of life and social support. *American Journal of Educational Research*, 4, 937-42. <https://doi.org/10.12691/education-4-13-4>
- Delgado, A. E., Ecurra, L. M. y Torres, W. (2006). *La medición en psicología y educación: teoría y aplicaciones*. Lima: Editorial Hozlo.
- DiStefano, C., & Morgan, G. B. (2014). A comparison of diagonal weighted least squares robust estimation techniques for ordinal data. *Structural Equation Modeling: A Multidisciplinary Journal*, 21(3), 425-438. <https://doi.org/10.1080/10705511.2014.915373>
- DiStefano, C., Liu, J., Jiang, N., & Shi, D. (2018). Examination of the weighted root mean square residual: Evidence for trustworthiness? *Structural Equation Modeling: A Multidisciplinary Journal*, 25(3), 453-466. <https://doi.org/10.1080/10705511.2017.1390394>
- Domínguez-Lara, S. (2018). Propuesta de puntos de corte para cargas factoriales: una perspectiva de confianza de constructo. *Enfermería Clínica*, 28(6), 401–402. <https://doi.org/10.1016/j.enfcli.2018.06.002>
- Dour, H. J., Wiley, J. F., Roy Byrne, P., Stein, M. B., Sullivan, G., Sherbourne, C. D., ... & Craske, M. G. (2014). Perceived social support mediates anxiety and depressive symptom changes following primary care intervention. *Depression and anxiety*, 31(5), 436-442. <https://doi.org/10.1002/da.22216>
- Duffy, A., Saunders, K. E., Malhi, G. S., Patten, S., Cipriani, A., McNevein, S. H., MacDonald, E., & Geddes, J. (2019). Mental health care for university students: a way forward?. *The Lancet Psychiatry*, 6(11), 885-887. [https://doi.org/10.1016/S2215-0366\(19\)30275-5](https://doi.org/10.1016/S2215-0366(19)30275-5)
- Ekbäck, M., Benzein, E., Lindberg, M., & Årestedt, K. (2013). The Swedish version of the multidimensional scale of perceived social support (MSPSS)-a psychometric evaluation study in women with hirsutism and nursing students. *Health and Quality of life Outcomes*, 11(1), 1-9. <https://doi.org/10.1186/1477-7525-11-168>
- Ermis-Demirtas, H., Watson, J. C., Karaman, M. A., Freeman, P., Kumaran, A., Haktanir, A., & Streeter, A. M. (2018). Psychometric properties of the multidimensional scale of perceived social support within Hispanic college students. *Hispanic Journal of Behavioral Sciences*, 40(4), 472-485. <https://doi.org/10.1177/0739986318790733>
- Ferrando, P. J., y Anguiano-Carrasco, C. (2010). El análisis factorial como técnica de investigación en psicología. *Papeles del psicólogo*, 31(1), 18-33. <https://www.redalyc.org/pdf/778/77812441003.pdf>
- Fleury, J., Keller, C., & Perez, A. (2009). So-

cial support theoretical perspective. *Geriatric Nursing*, 30(20), 11. <https://doi.org/10.1016/j.gerinurse.2009.02.004>

Gadermann, A. M., Guhn, M., & Zumbo, B. D. (2012). Estimating ordinal reliability for Likert-type and ordinal item response data: A conceptual, empirical, and practical guide. *Practical Assessment, Research, and Evaluation*, 17(1), 3. <https://doi.org/10.7275/n560-j767>

Gaxiola, J. C. y González, S. (2019). Apoyo percibido, resiliencia, metas y aprendizaje autorregulado en bachilleres. *Revista Electrónica de Investigación Educativa*, 21, e08, 1-10. <https://doi.org/10.24320/redie.2019.21.e08.1983>

Gómez-Campelo, P., Pérez-Moreno, E. M., de Burgos-Lunar, C., Bragado-Álvarez, C., Jiménez-García, R., & Salinero-Fort, M. Á. (2014). Psychometric properties of the eight-item modified Medical Outcomes Study Social Support Survey based on Spanish outpatients. *Quality of Life Research*, 23(7), 2073-2078. <https://doi.org/10.1007/s11136-014-0651-6>

Hair, J. F., Black, W. C., Babin, B. J., Anderson, R. E., & Tatham, R. L. (2014). *Multivariate data analysis, Seventh Edition*. Pearson Education Limited Harlow, Essex.

Hidalgo-Fuentes, S., Martínez-Álvarez, I., Tijeras-Iborra, A., & Sospedra-Baeza, M. J. (2022). Relación entre la inteligencia emocional y el apoyo social con el bienestar subjetivo: Un estudio transcultural España-Ecuador. *Revista Psicología de la Salud*, 10(1), 41-53. <https://doi.org/10.21134/pssa.v10i1.800>

Holden, L., Lee, C., Hockey, R., Ware, R. S., & Dobson, A. J. (2014). Validation of the MOS Social Support Survey 6-item (MOS-SSS-6) measure with two large population-based samples of Australian women. *Quality of Life Research*, 23(10), 2849-2853. <https://doi.org/10.1007/s11136-014-0741-5>

Hu, L. T., & Bentler, P. M. (1998). Fit indices in covariance structure modeling: Sensitivity to underparameterized model misspecification. *Psychological methods*, 3(4), 424. <https://doi.org/10.1037/1082-989X.3.4.424>

Ibrahim, A. K., Kelly, S. J., Adams, C. E., & Glaesbrook, C. (2013). A systematic review of studies of depression prevalence in university students. *Journal of psychiatric research*, 47(3), 391-400. <https://doi.org/10.1016/j.jpsychires.2012.11.015>

Kerres Malecki, C., & Kilpatrick Demary, M. (2002). Measuring perceived social support: Development of the child and adolescent social support scale (CASSS). *Psychology in the Schools*, 39(1), 1-18. <https://doi.org/10.1002/pits.10004>

Kline, P. (2015). *A handbook of test construction (psychology revivals): introduction to psychometric design*. Routledge. <https://doi.org/10.4324/9781315695990>

Kline, P. (1993). *An easy guide to factor analysis*. Newbury Park, California: SAGE. <http://dx.doi.org/10.4324/9781315788135>

Laksmi, O. D., Chung, M. H., Liao, Y. M., & Chang, P. C. (2020). Multidimensional Scale of Perceived Social Support in Indonesian adolescent disaster survivors: A psychometric evaluation. *PLoS One*, 15(3), e0229958. <https://doi.org/10.1371/journal.pone.0229958>

Larcombe, W., Finch, S., Sore, R., Murray, C. M., Kentish, S., Mulder, R. A., Lee-Stecum, P., Baik, C., Tokatlidis, O., & Williams, D. A. (2016). Prevalence and socio-demographic correlates of psychological distress among students at an Australian university. *Studies in Higher Education*, 41(6), 1074-1091. <https://doi.org/10.1080/03075079.2014.966072>

MacCallum, R. C., & Austin, J. T. (2000). Applications of structural equation modeling in psychological research. *Annual Review of Psychology*, 51(1), 201-226. <https://doi.org/10.1146/annurev.psych.51.1.201>

McIver, J., & Carmines, E. G. (1981). *Unidimensional scaling*. SAGE.

Millones, D. L. M., Rivalles, R. M., Lara, S. D., Marín, C. P., & Pino, O. M. (2020). Social Support in Higher Education: Evidence of Validity and Reliability in the Peruvian Context. *Universitas Psychologica*, 19, 1-11. <https://doi.org/10.11144/Javeriana.upsy19.sshe>

Nahm, E.S., Resnick, B. y Gaines, J. (2004). Probar la confiabilidad y validez de las medidas de apoyo social mediadas por computadora entre adultos mayores: un estudio piloto. *CIN: Computadoras, Informática, Enfermería*, 22 (4), 211-219. https://journals.lww.com/cinjournal/Abstract/2004/07000/Testing_the_Reliability_and_Validity_of.9.aspx

Nava, C. N., Bezies, R., & Vega, C. Z. (2015). Adaptación y validación de la escala de percepción de apoyo social de vaux. *Liberabit*, 21(1), 49-58. http://www.scielo.org.pe/scielo.php?pid=S1729-48272015000100005&script=sci_arttext&tlng=pt

Özer, Ö., Özkan, O., Budak, F., & Özmen, S. (2021). Does social support affect perceived stress? A research during the COVID-19 pandemic in Turkey. *Journal of Human Behavior in the Social Environment*, 31(1-4), 134-144. <https://doi.org/10.1080/10911359.2020.1854141>

Parra, M. R. (2020). Depression and the meaning of life in university students in times of pandemic. *International Journal of Educational Psychology*, 9(3), 223-242. <https://doi.org/10.17583/ijep.2020.6784>

Patsali, M. E., Mousa, D. P. V., Papadopoulou, E. V., Papadopoulou, K. K., Kaparounaki, C. K., Diakogiannis, I., & Fountoulakis, K. N. (2020). University students' changes in mental health status and determinants of behavior during the COVID-19 lockdown in Greece. *Psychiatry research*, 292, 113298. <https://doi.org/10.1016/j.psychres.2020.113298>

Ramaswamy, V., Aroian, KJ y Templin, T. (2009). Adaptación y evaluación psicométrica de la escala multidimensional de apoyo social percibido para adolescentes árabes americanos. *Diario Americano de Psicología Comunitaria*, 43 (1), 49-56.

Requena, G. C., Salamero, M., & Gil, F. (2007). Validación del cuestionario MOS-SSS de apoyo social en pacientes con cáncer. *Medicina Clínica*, 128(18), 687-691. <https://doi.org/10.1157/13102357>

Saltzman, L. Y., Hansel, T. C., & Bordnick, P. S. (2020). Loneliness, isolation, and social support factors in post-COVID-19 mental health. *Psychological Trauma: Theory, Research, Practice, and Policy*, 12(S1), S55. <https://doi.org/10.1037/tra0000703>

Sherbourne, C. D., & Stewart, A. L. (1991). The MOS social support survey. *Social Science & Medicine*, 32(6), 705-714. [https://doi.org/10.1016/0277-9536\(91\)90150-B](https://doi.org/10.1016/0277-9536(91)90150-B)

Shvedko, A., Whittaker, A. C., Thompson, J. L., & Greig, C. A. (2018). Physical activity interventions for treatment of social isolation, loneliness or low social support in older adults: A systematic review and meta-analysis of randomised controlled trials. *Psychology of Sport and Exercise*, 34, 128-137. <https://doi.org/10.1016/j.psychsport.2017.10.003>

Stewart, R. C., Umar, E., Tomenson, B., & Creed, F. (2014). Validation of the multi-dimensional scale of perceived social support (MSPSS) and the relationship between social support, intimate partner violence and antenatal depression in Malawi. *BMC Psychiatry*, 14(1), 1-11. <https://doi.org/10.1186/1471-244X-14-180>

Suwinyattichaiorn, T., & Johnson, Z. D. (2020). The impact of family and friends social support on Latino/a first-generation college students' perceived stress, depression, and social isolation. *Journal of Hispanic Higher Education*, 1538192720964922. <https://doi.org/10.1177/1538192720964922>

Tabachnick, B. G., Fidell, L. S., & Ullman, J. B. (2007). *Using multivariate statistics*. Boston, MA: Pearson. <https://www.pearsonhighered.com/assets/preface/0/1/3/4/0134790545.pdf>

Trejos-Herrera, A. M., Bahamón, M. J., Alarcón-Vásquez, Y., Vélez, J. I., & Vinaccia, S. (2018). Validity

and reliability of the multidimensional scale of perceived social support in Colombian adolescents. *Psychosocial Intervention*, 27(1), 56-63. <https://doi.org/10.5093/pi2018a1>

Trizano-Hermosilla, I., & Alvarado, J. M. (2016). Best alternatives to Cronbach's alpha reliability in realistic conditions: congeneric and asymmetrical measurements. *Frontiers in psychology*, 7, 769. <https://doi.org/10.3389/fpsyg.2016.00769>

Vaux, A., Phillips, J., Holly, L., Thomson, B., Williams, D., & Stewart, D. (1986). The social support appraisals (SS-A) scale: Studies of reliability and validity. *American Journal of Community Psychology*, 14(2), 195. <https://doi.org/10.1007/BF00911821>

Wathelet, M., Duhem, S., Vaiva, G., Baubet, T., Habran, E., Veerapa, E., ... & D'Hondt, F. (2020). Factors associated with mental health disorders among university students in France confined during the COVID-19 pandemic. *JAMA network open*, 3(10), e2025591-e2025591. <https://doi.org/10.1001/jamannetworkopen.2020.25591>

Wilson, A., Yendork, J. S., & Somhlaba, N. Z. (2017). Psychometric properties of multidimensional scale of perceived social support among Ghanaian adolescents. *Child Indicators Research*, 10(1), 101-115. <https://doi.org/10.1007/s12187-016-9367-1>

Wu, F., Ren, Z., Wang, Q., He, M., Xiong, W., Ma, G., Fan, X., Guo, X., Liu, H., & Zhang, X. (2021). The relationship between job stress and job burnout: the mediating effects of perceived social support and job satisfaction. *Psychology, Health & Medicine*, 26(2), 204-211. <https://doi.org/10.1080/13548506.2020.1778750>

Zhang, M., Zhang, J., Zhang, F., Zhang, L., & Feng, D. (2018). Prevalence of psychological distress and the effects of resilience and perceived social support among Chinese college students: Does gender make a difference?. *Psychiatry Research*, 267, 409-413. <https://doi.org/10.1016/j.psychres.2018.06.038>

Zimet, G. D., Dahlem, N. W., Zimet, S. G., & Farley, G. K. (1988). The multidimensional scale of perceived social support. *Journal of personality assessment*, 52(1), 30-41. https://doi.org/10.1207/s15327752jpa5201_2